

九州大学工学部 正員 上田年比古
正員 ○杉尾哲

1. まえがき 本報は上面に湛水があり、円形暗きよ内は被圧水が満されていいる場合の暗きよ取水量について、まず浸透領域が領域の全幅よりも狭い範囲から流入（有限流入部）する長方形の場合を用いて解析し、次にこの領域を水平方向、鉛直方向およびこの両方向を無限大に拡げた場合の取水量算定式を求めたものである。なお、一般によく用いられる Muskat 式は近似的に暗きよ中心を中心とする複素関数の流入点として解析により取水量を求めていたので、両点の差による算定誤差が生ずると考えられる。したがって本報では与えられた暗きよ断面周壁を等ポテンシャル線とする理論的流入点（複素関数の流入点）を用いて解析した。またこの計算結果を被膜抵抗体を用いて電気モデルの実験結果と比較検討してある。

2. 基礎式 浸透流の解析に複素ポテンシャルを利用し、流れの場の座標軸を図-1のように取って、 W を複素速度ポテンシャル、 Ψ を速度ポテンシャル、 U, V を流れ速度、 U, V をそれぞれ y の正方向の流速、 A を透水係数、 P を流れの場の任意点の圧力、 h をその点の全水頭とすれば、2次元非回転定常流の基礎理論から次式が成り立つ。

$$Z = x + iy, W = \Psi + iU \quad (1)$$

$$\left. \begin{aligned} U &= -\left(\frac{\partial \Psi}{\partial x}\right) = -\left(\frac{\partial \Psi}{\partial y}\right), V = -\left(\frac{\partial \Psi}{\partial y}\right) = \left(\frac{\partial \Psi}{\partial x}\right) \\ \frac{dW}{dz} &= -U + iV \end{aligned} \right\} \quad (2)$$

$$\Psi = Rh = R(P/\rho g - x) \quad (3)$$

3. 複素関数 いま、均一無限大の浸透領域（図-2の左平面）に強さ μ の流入点が地表面から z にある流れを考えると、この複素関数は次式で与えられる。

$$W = \mu \log e^{\frac{t-\lambda}{t+\lambda}} + \mu' \quad (\mu: \text{実定数}) \quad (4)$$

この浸透領域を $t = \tanh CS$ (C : 実定数) で写像すれば、鉛直方向にだけ無限大の領域（図-2の右平面）となり、さらに $\sinh CS = z/B$ (B : 実定数) で写像すれば $2B$ の有限流入部をもつ半無限領域（図-2の右平面）がえられる。

$$W = \mu \log e^{\frac{z-A\sqrt{B^2+z^2}/\sqrt{B^2+A^2}}{z+A\sqrt{B^2+z^2}/\sqrt{B^2+A^2}}} + \mu' \quad (5)$$

$$z = \infty, \sinh Cx = A/B.$$

ここで、右平面を図-3の左図のように ($0 < A < 1$) 考えれば、

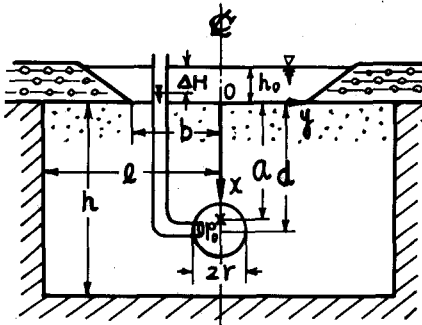


図-1 流れの場

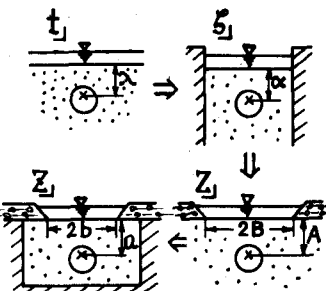


図-2 写像の繰返し

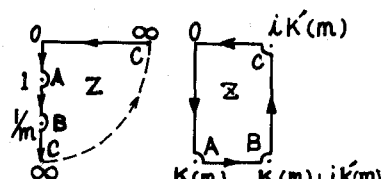


図-3 $Z = m(z, m)$ による写像

そのオ1 象限を長方形領域にとじ込める写像関数は Schwarz-Christoffel の定理により、

$$Z = \int_0^z \frac{dz}{\sqrt{(1-z^2)(1-m^2 z^2)}} \quad (m: 母数) \quad (6)$$

すなわちオ1種椭円関数で、あるいはその逆関数の

$$Z = X+iY = m(Cz, m) \quad (7)$$

で定義される m 関数で表わされる。したがって、この半無限領域を式(7)で写像すれば有限流入部をもつ長方形浸透領域(図-2 の Z 平面, すなわち図-1 の流れの場)が得られ、写像関数は次式のようになる。

$$W = \mu \log e \frac{\operatorname{sn}(Cz, m) - \operatorname{sn}(Ca, m)}{\operatorname{sn}(Cz, m) + \operatorname{sn}(Ca, m)} \sqrt{\operatorname{ac}^2(Cb, m') + \operatorname{am}^2(Cz, m')} / \sqrt{\operatorname{ac}^2(Cb, m') + \operatorname{am}^2(Ca, m)} + \mu' \quad (8)$$

$$= 1, \quad A = \operatorname{sn}(Ca, m), \quad B = \operatorname{sn}(Cb, m) = \operatorname{sn}(Cb, m') / \operatorname{cn}(Cb, m') = \operatorname{sc}(Cb, m')$$

なお、 m 関数の値は Jacobi の椭円関数表から求めらるかあるいは Maclaurin 級数で展開した式(但し、 $Z=0$ の近傍で収束する)と m 関数の加法定理を導くことによつて数値計算ができる。

$$Z = \operatorname{sn}(Z, m) = 8 - \frac{(1+m^2)}{3!} Z^3 + \frac{(1+14m^2+m^4)}{5!} Z^5 - \frac{(1+135k^2+135k^4+k^6)}{7!} Z^7 + \dots \quad (9)$$

4. 解析 いま、式を簡略化するため m 関数の母数を省略し、実数 F, G を次のようになければ、式(8)の根号は式(10)に示すような実数部と虚数部に分けらるこができる。

$$\begin{aligned} F &= \operatorname{ac}^2 Cb \cdot \left\{ 1 - \operatorname{am}^2 Cy \cdot \operatorname{dn}^2 Cx \right\}^2 + \operatorname{am}^2 Cx \cdot \operatorname{dn}^2 Cy - \operatorname{am}^2 Cy \cdot \operatorname{cn}^2 Cx \cdot \operatorname{cn}^2 Cy \cdot \operatorname{dn}^2 Cx \\ G &= \left\{ 1 - \operatorname{am}^2 Cy \cdot \operatorname{dn}^2 Cx \right\}^2 \cdot \operatorname{am}^2 Cx \cdot \operatorname{am}^2 Cy \cdot \operatorname{cn}^2 Cx \cdot \operatorname{cn}^2 Cy \cdot \operatorname{dn}^2 Cx \cdot \operatorname{dn}^2 Cy \end{aligned} \quad (10)$$

$$\sqrt{\operatorname{ac}^2 Cb + \operatorname{am}^2 Cx} = \sqrt{F + \sqrt{F^2 + 4G}} + \sqrt{-F + \sqrt{F^2 + 4G}} / \sqrt{2} (1 - \operatorname{am}^2 Cy \cdot \operatorname{dn}^2 Cx) \quad (11)$$

ここに、速度ポテンシャル Ψ および流れ関数 ψ は式(8)と m 関数の虚数の加法定理を使って分けた実数部と虚数部で表わされるので、さらに実定数 D を次式のようにおけば式(13), (14)で表わせらる。

$$D = \operatorname{am} Ca / \sqrt{\operatorname{ac}^2 Cb + \operatorname{am}^2 Ca} \quad (12)$$

$$\Phi = \frac{\mu}{i\sqrt{2}} \log e \frac{\left\{ \operatorname{am} Cy \cdot \operatorname{dn} Cy - D \sqrt{F + \sqrt{F^2 + 4G}} / \sqrt{2} \right\}^2 + \left\{ \operatorname{am} Cy \cdot \operatorname{cn} Cx \cdot \operatorname{cn} Cy \cdot \operatorname{dn} Cx - D \sqrt{-F + \sqrt{F^2 + 4G}} / \sqrt{2} \right\}^2}{\left\{ \operatorname{am} Cy \cdot \operatorname{dn} Cy + D \sqrt{F + \sqrt{F^2 + 4G}} / \sqrt{2} \right\}^2 + \left\{ \operatorname{am} Cy \cdot \operatorname{cn} Cx \cdot \operatorname{cn} Cy \cdot \operatorname{dn} Cx + D \sqrt{-F + \sqrt{F^2 + 4G}} / \sqrt{2} \right\}^2} + \mu' \quad (13)$$

$$\Psi = \mu \tan^{-1} \frac{\sqrt{2} D \left\{ \operatorname{am} Cy \cdot \operatorname{cn} Cx \cdot \operatorname{cn} Cy \cdot \operatorname{dn} Cx / \sqrt{F + \sqrt{F^2 + 4G}} - \operatorname{am} Cx \cdot \operatorname{dn} Cy / \sqrt{-F + \sqrt{F^2 + 4G}} \right\}^2}{\operatorname{am}^2 Cx \cdot \operatorname{dn}^2 Cy + \operatorname{am}^2 Cy \cdot \operatorname{cn}^2 Cx \cdot \operatorname{cn}^2 Cy \cdot \operatorname{dn}^2 Cx - D \sqrt{F + \sqrt{F^2 + 4G}}} \quad (14)$$

○諸定数の算定 まず、流入点の強さ μ は地表面($Z=0$)からの流入量を求めるこによつて与えられる。

$$= 1, \quad \text{式(2)より}, \quad Q = 2 \int_0^b U_{x=0} dy = 4\mu D \int_0^b \frac{dy}{\operatorname{cn}^2 Cy} / \left[\left(\frac{\operatorname{ac}^2 Cy}{\operatorname{ac}^2 Cb} + D^2 \left(1 - \frac{\operatorname{ac}^2 Cy}{\operatorname{ac}^2 Cb} \right) \right) \left(1 - \frac{\operatorname{ac}^2 Cy}{\operatorname{ac}^2 Cb} \right) \right] \cdot dy = 2\mu \pi$$

$$\therefore \mu = Q / 2\pi \quad (15)$$

また、地表面の速度ポテンシャルは湛水压 $p = \rho g h_0$ を式(3)に代入して $\Phi = \rho g h_0$ で表わせらるが、式(13)は $Z=0$ の時 $\Phi = \mu'$ となるので、次式が成り立つこができる。 $\mu' = \rho g h_0$ ————— (16)

次に流れの場の中心線上(x 軸)における速度ポテンシャルは、式(13)に $y=0$ と式(15), (16)を代入し

$$\Phi_{y=0} = \frac{Q}{4\pi} \log e \frac{\left\{ \operatorname{am} Cx - D \sqrt{\operatorname{ac}^2 Cb + \operatorname{am}^2 Cx} \right\}^2}{\left\{ \operatorname{am} Cx + D \sqrt{\operatorname{ac}^2 Cb + \operatorname{am}^2 Cx} \right\}^2} + \rho g h_0 \quad (17)$$

で表わせらる。したがつて、集水暗渠と周壁を等ポテンシャル線とする理論的流入点 a を含む定数 D の値は、式(17)を $\Phi_{y=0} = d + r = \Phi_{y=0} = d - r$ で解くこ次式のようにならる。

$$D = \sqrt{\frac{AC\{C(d+r)\} \cdot AC\{C(d-r)\}}{[AC^2 b + m^2 \{C(d+r)\}] [AC^2 b + m^2 \{C(d-r)\}]^2}} \quad (18)$$

また、 $K(m), K'(m)$ をそれぞれ母数 m , 補母数 m' につけ式-(6)右辺の上限を 1 として定積分で定義される第 1 種完全楕円積分とすれば、 $x=h$ の時に $X=1$, $y=l$ の時に $Y=1$ の条件より式-(7)において $Ch = K(m)$, $Cl = K'(m)$ が成り立ち、次式を得る。

$$C = K(m)/h = K'(m)/l \quad (19)$$

$$K(m)/K'(m) = l/h \quad (20)$$

となり、母数の値は浸透領域の形状による考え方され、第 1 種完全楕円積分表から求められる。³⁾

○取水量算定式　いま、暗きよ中心の圧力を p_0 とすれば、暗きよ周壁の速度ポテンシャル Φ_0 は式-(3)より、

$$\Phi_0 = \arg \{ p_0/\rho g - d \} \quad (21)$$

ここで、式-(18), (19), (21) と $x=d+r$ や $x=d-r$ を式-(17)に代入すれば、有限流入部をもつ長方形浸透領域の集水暗きよ取水量 Q は次式で与えられる。

$$Q = 2\pi k \Delta H / \log e \left\{ \frac{\sin \frac{(K(m))}{h}(d+r)m}{\sin \frac{(K(m))}{h}(d+r)m} \sqrt{\frac{AC^2 b + m^2 \{C(d+r)\}^2}{AC^2 b + m^2 \{C(d+r)\}^2 + m^2 \{C(d+r)\}^2}} + \sqrt{\frac{m \sin \frac{(K(m))}{h}(d+r)m}{AC^2 b + m^2 \{C(d+r)\}^2 + m^2 \{C(d+r)\}^2}} \right\} - \left\{ \frac{\sin \frac{(K(m))}{h}(d+r)m}{\sin \frac{(K(m))}{h}(d+r)m} \sqrt{\frac{AC^2 b + m^2 \{C(d+r)\}^2}{AC^2 b + m^2 \{C(d+r)\}^2 + m^2 \{C(d+r)\}^2}} - \sqrt{\frac{m \sin \frac{(K(m))}{h}(d+r)m}{AC^2 b + m^2 \{C(d+r)\}^2 + m^2 \{C(d+r)\}^2}} \right\} \quad (22)$$

$$= h; \Delta H = h_0 + d - p_0/\rho g.$$

5. 領域の拡大　m 関数の定義より

$$\left. \begin{array}{ll} m^2 + m'^2 = 1 \\ m = 0 \text{ で } m(\infty, m) = \sin \infty, \quad K(m) = \pi/2, \quad K'(m) = \infty. \quad (\text{式(20)より } l=\infty \text{ の場合}) \\ m = 1 \text{ で } m(\infty, m) = \tanh \infty, \quad K(m) = \infty, \quad K'(m) = \pi/2. \quad (\text{式(20)より } h=\infty \text{ の場合}) \end{array} \right\} \quad (23)$$

ここで式-(22)より次式が得られる。

○有限流入部をもつ水平方向に無限大の領域の集水暗きよの取水量は、

$$Q_{(l=\infty)} = 2\pi k \Delta H / \log e \left\{ \frac{\sin \frac{\pi}{2h}(d+r) \sqrt{\sinh^2 \frac{\pi}{2h} b + \sin^2 \frac{\pi}{2h}(d+r)} + \sqrt{\sin \frac{\pi}{2h}(d+r) \sqrt{\sinh^2 \frac{\pi}{2h} b + \sin^2 \frac{\pi}{2h}(d+r)}}}{\sin \frac{\pi}{2h}(d+r) \sqrt{\sinh^2 \frac{\pi}{2h} b + \sin^2 \frac{\pi}{2h}(d+r)} - \sqrt{\sin \frac{\pi}{2h}(d+r) \sqrt{\sinh^2 \frac{\pi}{2h} b + \sin^2 \frac{\pi}{2h}(d+r)}}} \right\} \quad (24)$$

○有限流入部をもつ鉛直方向に無限大の領域の集水暗きよの取水量は、

$$Q_{(h=\infty)} = 2\pi k \Delta H / \log e \left\{ \frac{\tanh \frac{\pi}{2l}(d+r) \sqrt{\tan^2 \frac{\pi}{2l} b + \tanh^2 \frac{\pi}{2l}(d+r)} + \sqrt{\tanh \frac{\pi}{2l}(d+r) \sqrt{\tan^2 \frac{\pi}{2l} b + \tanh^2 \frac{\pi}{2l}(d+r)}}}{\tanh \frac{\pi}{2l}(d+r) \sqrt{\tan^2 \frac{\pi}{2l} b + \tanh^2 \frac{\pi}{2l}(d+r)} - \sqrt{\tanh \frac{\pi}{2l}(d+r) \sqrt{\tan^2 \frac{\pi}{2l} b + \tanh^2 \frac{\pi}{2l}(d+r)}}} \right\} \quad (25)$$

○有限流入部をもつ半無限領域における、

式-(24)の \sin および \sinh を展開して $h=\infty$ とするかあるいは式-(25)の \tanh および \tanh を展開して $l=\infty$ とすれば、有限流入部をもつ半無限領域の集水暗きよの取水量は、

$$Q_{(h=\infty)} = 2\pi k \Delta H / \log e \left\{ \frac{\sqrt{(d+r)/b^2 + (d-r)^2} + \sqrt{(d-r)/b^2 + (d+r)^2}}{\sqrt{(d+r)/b^2 + (d-r)^2} - \sqrt{(d-r)/b^2 + (d+r)^2}} \right\} \quad (26)$$

なお、この式-(26)は式-(5)の半無限領域から直接求めても同じ結果を得る。また、式-(26)と同じ境界条件のもとに求められた Muskat 式¹⁾は

$$Q_M = 2\pi k \Delta H / \log \{ 2d(1+d^2/b^2)/r \}$$

で表わされる。これは式-(26)における $a=d$ の近似を行った解と一致している。

6. 取水量算定式の検討　以上の式の説明は式-(4)から出発して写像の逆変換により得られたものである。ここで、式-(4)の浸透領域で実軸を共軸とする円群ごとに等ポテンシャル線は写像の縦直しの影響を受けて円よりも多少歪んだものとなり、暗きよ断面周壁と完全には一致しない。このため

解析結果は厳密解とならないが、この写像による直線の最も大きく表わされる $d=h-r$ の附近以外は近似的に円とみなしてもよいのではないかと考えられる。なお、 $r/d=0.1$ について行った実験結果も図-4のように $h/d = 1+r/d = 1.1$ (ほぼ2.5%の誤差) 以外は式-(22)による算定結果とよく一致している。またこの図から $h/d, l/d$ が3以上になると Q/kAH はほとんど増加しないことがわかる。次に半無限領域の場合には Muskat により写像の重ね合せを用いて求められた QM 式があるが、これは円形暗室より中心を流入点として求められることため、 r/d が増加すると、すなわち、暗室の半径が大きい場合では暗室の位置が地表面に近くなると理論的流入点と暗室中心とのずれが大きくなること式-(26)との算定流入量の誤差が大きく表われてくる。なお、式-(26)も上記のように厳密解ではないが、式-(5)の写像関数から求めた重の式を数値計算して等ポテンシャル線を描いてみると、式-(22)の浸透領域の場合に比べて領域の広さには制限が加えられてないため、ほぼ $r/d < 0.5$ の範囲の等ポテンシャル線は円に極めて近く、したがって式-(26)はほぼ厳密解と考えられる。次に $b/d = 0.5, r/d = 0.1$ における式-(22)の算定結果が式-(24)～(26)の算定結果と等しく（算定誤差：0.05%以内）なる $h/d, l/d$ の範囲は図-5のようになる。また、図-6に示した計算結果から次のことがいえる。

- (1) $l/h \sim Q/kAH$ l/h を大きくすると Q/kAH も大きくなるが、その増加率は l/h が小さい時に大きく、 l/h が3以上ではほとんど増加しないようである。
- (2) $b/d \sim Q/kAH$ b/d を小さくすると Q/kAH は小さくなるが、その減少率は b/d が1に近いほど小さく、 $b/d = 0.8$ は $b/d = 1.0$ の時とほぼ同じのようである。
- (3) $r/h, d/h \sim Q/kAH$ r/d を大きくすると Q/kAH は大きくなり、 d/h を大きくすると Q/kAH は小さくなる。その減少率は $(d+r)/h$ が1に近くほど小さい。これらの結果から、浸透領域あるいは流入幅をいたずらに大きくしても無意味であることがわかる。

なお、以上の数値計算には九州大学中央施設 OKITAC 5090H を使用した。

参考文献: 1). Muskat: Flow of Homogeneous Fluids through Porous Media, 1946, P. 191.

2). 林桂一, 森口繁一: 高等関数表, 岩波書店, 1967, P. 348.

3). 前と同じ, P. 332.

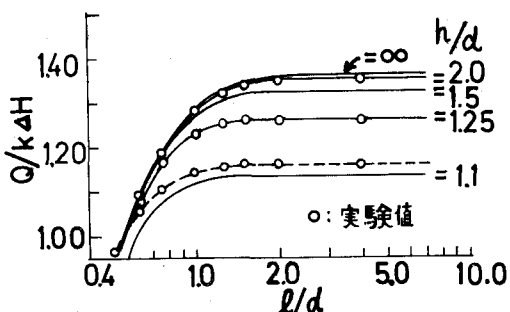


図-4 長方形領域の理論値と実験値

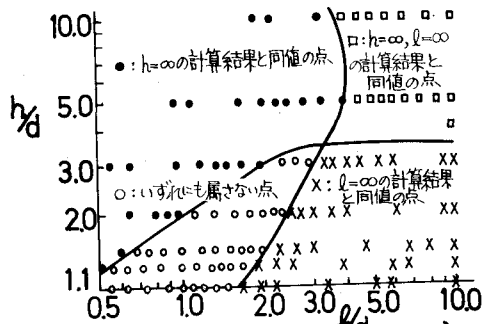


図-5 式-(24)～(26)で算定できる領域

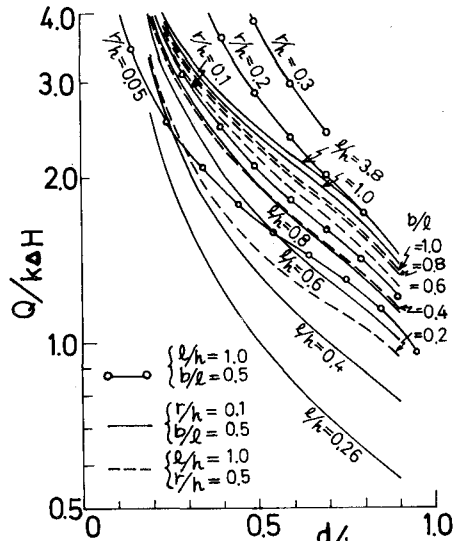


図-6 境界のちがいによる取水量の変化